

# Self-Supervised Image Denoising

---



*Sogang University*

*Vision & Display Systems Lab, Dept. of Electronic Engineering*



*Presented By*

나송주

# Outline

- Introduction
  - Image Denoising 소개 및 필요성
  - Background
    - Noise2Noise (ICML 2018)
    - Noise2Void (CVPR 2019)
- Paper Review
  - Spatially Adaptive Self-Supervised Learning for Real-World Image Denoising (CVPR 2023)
  - Iterative Denoiser and Noise Estimator for Self-Supervised Image Denoising (ICCV 2023)
  - Self-supervised Image Denoising with Downsampled Invariance Loss and Conditional Blind-Spot Network (ICCV 2023)

# Introduction

- Image Denoising 소개 및 필요성

- Problem formulation

- Image denoising은 noisy image  $x = s + n$ 에서 noise  $n$ 를 제거하여 image signal  $s$ 를 복원하는 task
    - Noisy image는 다음과 같은 joint distribution을 따른다고 볼 수 있음. 또한 noise는 일반적으로 zero-mean을 가진다고 가정하며 따라서 noisy image의 기대값(평균)은 image signal이 됨

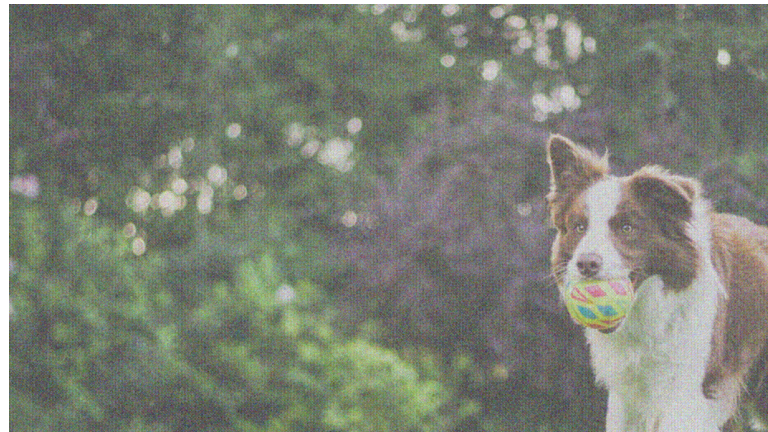
$$p(s, n) = p(s)p(n|s)$$

$$\mathbb{E}[n_i] = 0,$$

$$\mathbb{E}[x_i] = s_i.$$

- Denoiser  $f(\cdot; \theta)$ 를 학습 시킬 때 가장 널리 사용되는 방법은 noisy-clean paired data를 사용하여 mean-squared-error (MSE)를 최소화하는 방법

$$\operatorname{argmin}_{\theta} \mathbb{E}_{x,s} [\|f(x; \theta) - s\|_2^2]$$



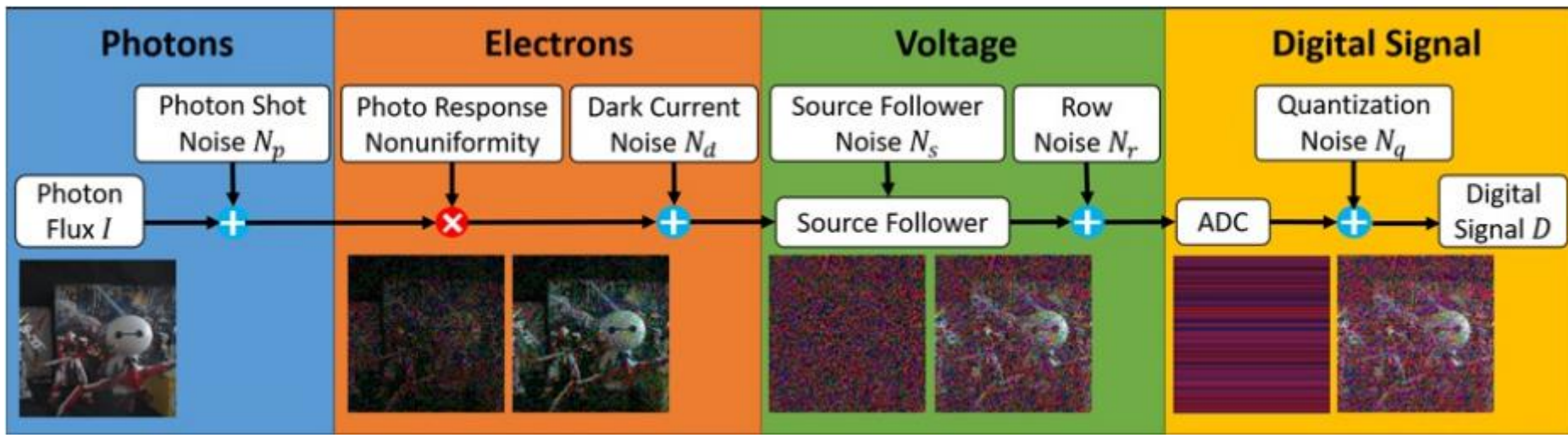
<Image denoising 예시>

# Introduction

- Image Denoising 소개 및 필요성

- Various noise sources in camera pipeline

- 카메라의 광학 센서에 입력되는 광자의 세기를 전압으로 변환하고 이를 디지털 이미지로 변환하는 과정에서 노이즈는 필연적으로 발생
  - 흔히 접하는 광학 카메라 뿐만 아니라 센서를 통해 물리적인 값을 이미징 하는 과정에서도 (예시: 현미경, 적외선 카메라 등) 노이즈가 발생
  - 또한 noise source마다 발생하는 noise의 형태가 다르다는 특징을 가짐
  - 이처럼 영상 취득 장치에서 필연적으로 노이즈가 발생하며 denoising은 이러한 현상에 해결 방안으로써 오랜 기간 연구되어 옴



# Introduction

- Image Denoising 소개 및 필요성

- Challenges on image denoising

- 다양한 형태의 noise

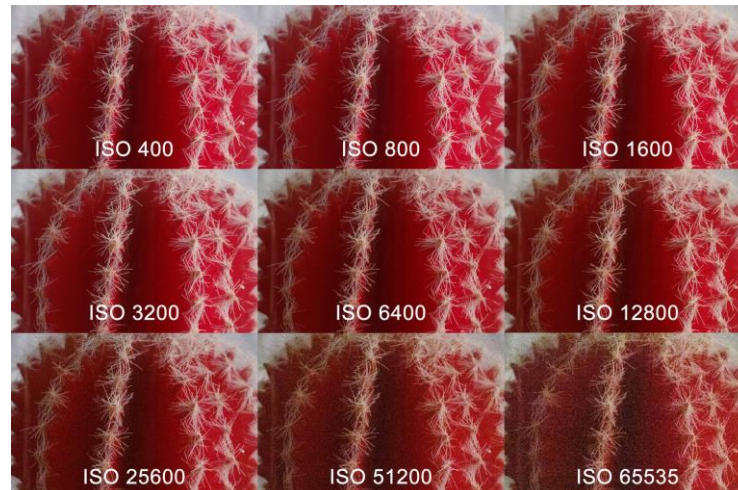
- ↳ 영상을 취득하는 환경, 카메라 등에 따라 noise의 형태가 변함

- ↳ 특정 조건에서 취득된 noisy-clean image pair를 사용하여 모델을 학습시켜도 다른 형태의 noise가 입력되면 성능이 하락하는 문제가 존재

- 데이터 취득의 어려움

- ↳ 일반적인 딥러닝 기반의 denoising 방법은 많은 양의 noisy-clean image pair를 필요로 함

- ↳ 극한 환경에서 취득되는 영상은 clean image 얻는 것 자체가 불가능 (예시: 우주 탐사선에서 취득된 영상, 의료 영상 등)



<Camera sensor 민감도에 따른 image 변화>

# Introduction

- Background

- Recent trends in image denoising

- Real noise dataset을 (예: SIDD, DND 데이터셋) 취득하고 이를 사용하여 학습하는 방법
    - GAN 등을 사용하여 real noise와 유사한 noise를 synthesis하거나 물리적 특성을 분석하여 modeling하는 방법 (예: PNGAN, Zhang *et al.* (ICCV 2023))
    - Noise estimator와 같은 sub-network를 denoiser와 함께 학습시켜 다양한 noise에 대한 강건성을 높이는 방법 (예: CBDNet, Zhou *et al.* (AAAI 2020))
    - Noisy image만을 사용하여 self-supervised 방식으로 모델을 학습 시키는 방법

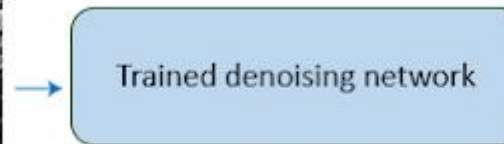
1. 대부분 방법이  
noisy-clean pair를 필요로 함

2. Train – test dataset의  
image content가 크게 다르면  
성능이 저조할 수 있음

Train phase

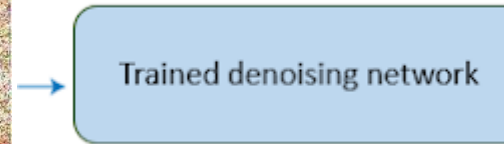
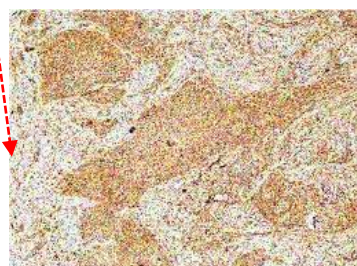


Noisy Image



Denoised Image

Test phase



<기존 방법의 한계점 예시>

# Introduction

- Background

- Noise2Noise (N2N)

- 일반적인 image denoising model은 noisy input  $\hat{x}_i$  와 clean target  $y_i$ 에 대해 L1 또는 L2 loss를 최소화하는 방법으로 학습됨

$$\operatorname{argmin}_{\theta} \sum_i L(f_{\theta}(\hat{x}_i), y_i)$$

- 특히 L2 loss를 사용하는 경우 아래와 같이 target의 mean으로 수렴함

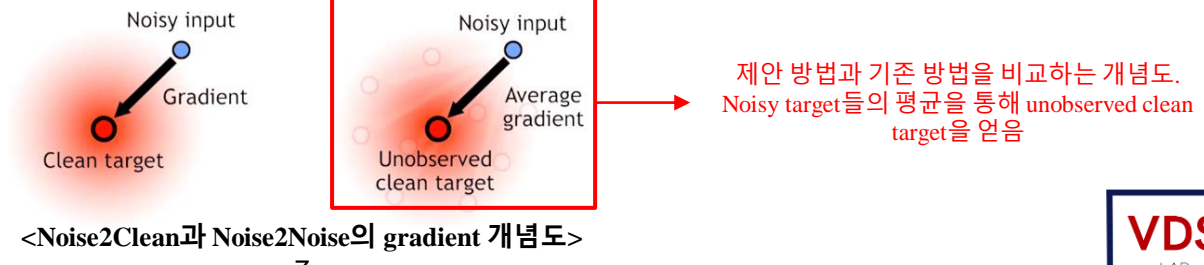
$$MSE = \mathbb{E} (\|\mathbf{x} - \hat{\mathbf{x}}\|_2^2 | \mathbf{y}) = \mathbb{E} (\|\mathbf{x} - f(\mathbf{y})\|_2^2 | \mathbf{y}) = \int \|\mathbf{x} - f(\mathbf{y})\|_2^2 p(\mathbf{x}|\mathbf{y}) d\mathbf{x}.$$

$$\frac{d}{df(\mathbf{y})} \int \|\mathbf{x} - f(\mathbf{y})\|_2^2 p(\mathbf{x}|\mathbf{y}) d\mathbf{x} = -2 \int (\mathbf{x} - f(\mathbf{y})) p(\mathbf{x}|\mathbf{y}) d\mathbf{x} = 0.$$

$$\int \mathbf{x} p(\mathbf{x}|\mathbf{y}) d\mathbf{x} = \int f(\mathbf{y}) p(\mathbf{x}|\mathbf{y}) d\mathbf{x} = f(\mathbf{y}) \int p(\mathbf{x}|\mathbf{y}) d\mathbf{x} = f(\mathbf{y}).$$

$$f_{MMSE}(\mathbf{y}) = \int_{\mathbf{x}} \mathbf{x} p(\mathbf{x}|\mathbf{y}) d\mathbf{x} = \mathbb{E}(\mathbf{x}|\mathbf{y}).$$

- Denoising뿐만 아니라 대부분의 image restoration task에서 input과 target은 1:1 mapping이 아니므로 모델은 가능한 target들을 평균 낸 결과에 수렴함
    - 따라서 target이 반드시 clean image일 필요가 없고, expectation이 clean image 이기만 하면 denoising network의 target으로 사용될 수 있음

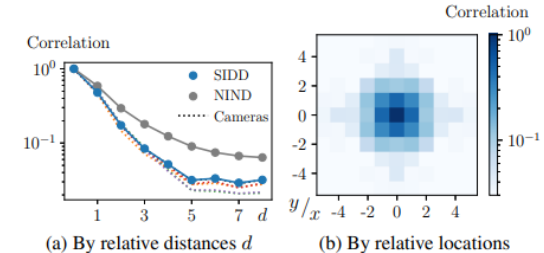
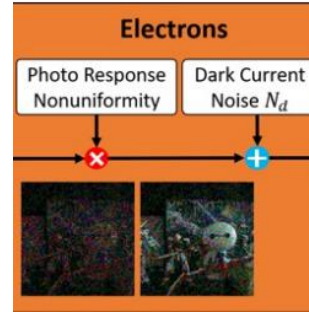


# Introduction

- Background

- Noise2Void (N2V)

- N2V는 아래와 같은 통계적 가정에 근거함



- 1. Image signal  $s$  is not pixel-wise independent

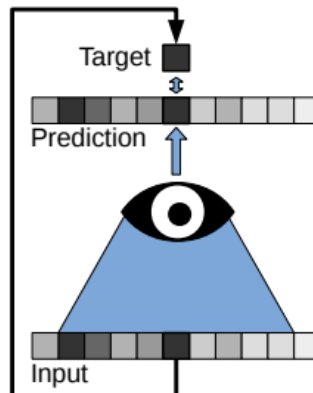
Real noise는 이 조건에 위배됨

- 2. Noise signal  $n$  has zero-mean and is conditionally pixel-wise independent given the signal  $s$

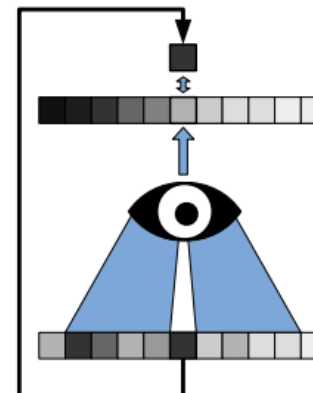
- N2V는 input과 GT 모두 noisy training image  $x$  ( $x = s + n$ )로부터 추출하며, receptive field에서 center pixel이 제외된 blind spot network (BSN)구조를 사용함

- 즉, center pixel을 관측하지 못하도록 제한하고 주변 pixel만 관측하여 center pixel을 예측하도록 모델을 학습시킴

- Noise는 pixel-wise independent하여 주변 픽셀이 center pixel을 예측하는데 아무런 정보를 주지 못하는 반면에 image pixel은 주변 context를 보고 center pixel 유추 가능



(a)



(b)

<N2C와 N2V 비교 개념도>

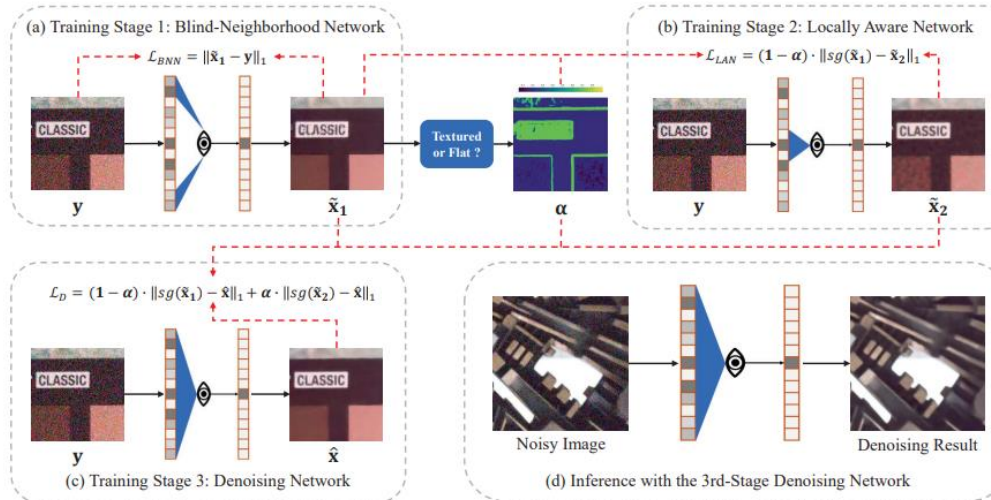
# Spatially Adaptive Self-Supervised Learning for Real-World Image Denoising

# Paper Review

- Spatially Adaptive Self-Supervised Learning for Real-World Image Denoising

- Overview

- N2V는 pixel-wise independent한 noise를 가정하는데, real noise는 pixel 간에 correlation 존재
    - Image의 flat region은 넓은 영역에 걸쳐 같은 image content를 가지므로 noise correlation을 무시할 수 있을 만큼 멀리 있는 pixel까지 blind spot을 넓혀 위 문제 해결 가능
    - 반면 texture region은 원본 image를 복원하는데 있어서 인접 pixel 정보를 반드시 사용해야 함
    - 본 논문은 BNN이라는 flat region에 특화된 네트워크를 먼저 학습 시키고, 이후 BNN으로 잘 복원되지 않는 texture 영역을 LAN이라는 네트워크를 사용하여 복원
    - 마지막으로 학습된 BNN과 LAN을 사용하여 복원된 영상을 일반적인 denoising network의 supervision으로 제공하여 denoising network를 학습시킴



<제안 방법의 전체 개념도>

# Paper Review

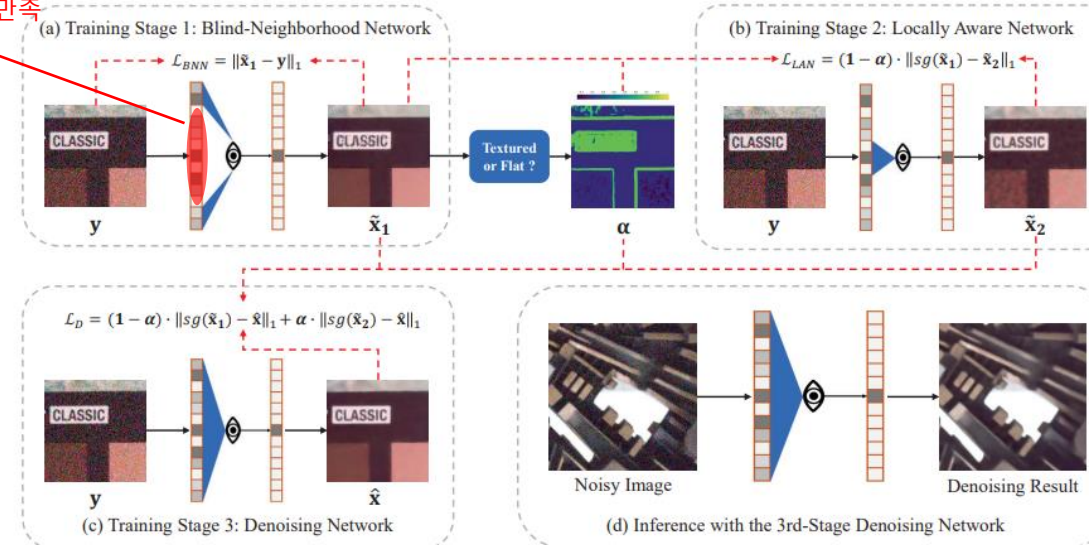
- Spatially Adaptive Self-Supervised Learning for Real-World Image Denoising

- Method

- Flat region에서는 인접 pixel뿐만 아니라 noise correlation을 벗어나는 먼 위치에 있는 pixel도 같은 image content를 가지고 있음
    - Noise-correlation이 끊어질 만큼 멀리 있는 pixel까지 blind spot을 늘려서 N2V의 pixel-wise independent 조건을 만족시킬 수 있음
    - 본 논문은 BSN에서 blind spot을 확장한 Blind-Neighbor Network (BNN) 구조를 제안하였으며, 다음과 같은 loss function을 사용하여 BNN을 학습함

인접 pixel은 noise끼리 correlation이 있으니  
충분히 멀리 있는 pixel만 관측하도록 해서  
N2V의 조건을 만족

$$\mathcal{L}_{BNN} = \|\tilde{\mathbf{x}}_1 - \mathbf{y}\|_1$$



<제안 방법의 전체 개념도>  
11

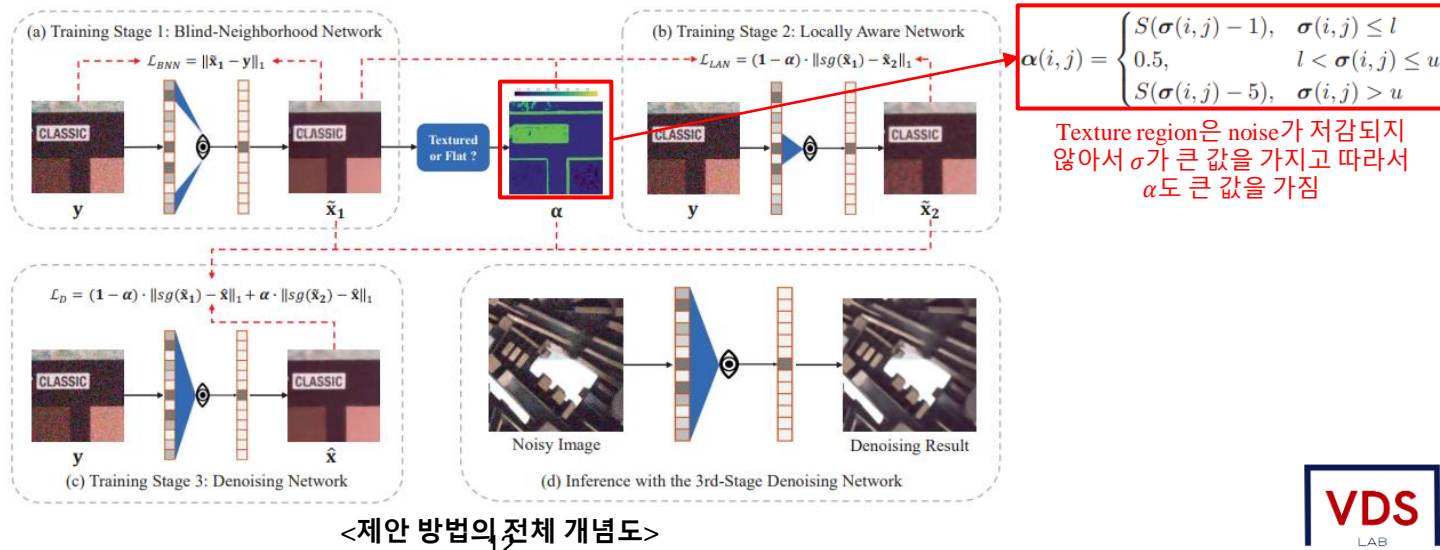
# Paper Review

- Spatially Adaptive Self-Supervised Learning for Real-World Image Denoising

- Method

- BNN은 flat region에는 잘 동작하지만, texture region은 잘 복원하지 못함
  - Noisy image를 BNN을 사용하여 복원한 후 각 픽셀 위치에서 인접 patch의 표준편차  $\sigma$ 를 계산
- $$\sigma(i, j) = \text{std}(\tilde{\mathbf{x}}_1(i - \frac{n-1}{2} : i + \frac{n-1}{2}, j - \frac{n-1}{2} : j + \frac{n-1}{2}))$$
- 이후  $\sigma$ 를 sigmoid에 통과시켜서 각 픽셀이 얼마나 texture한지 나타내는  $\alpha$ -map을 얻음
  - 한편 texture region은 blind network 구조로는 학습하기 어려우며, supervised 방식의 target이 필요함
  - BNN은 flat region의 noise를 잘 제거할 수 있는 것에 착안하여 일반적인 CNN 구조를 사용한 LAN을 BNN의 출력을 사용하여 다음과 같이 학습시킴

$$\mathcal{L}_{LAN} = (1 - \alpha) \cdot \|sg(\tilde{\mathbf{x}}_1) - \tilde{\mathbf{x}}_2\|_1$$



# Paper Review

- Spatially Adaptive Self-Supervised Learning for Real-World Image Denoising

- Method

- 마지막으로 학습된 BNN과 LAN을 사용하여 일반적인 denoising network를 다음과 같이 학습시킴

$$\mathcal{L}_D = (1 - \alpha) \cdot \|sg(\tilde{\mathbf{x}}_1) - \hat{\mathbf{x}}\|_1 + \alpha \cdot \|sg(\tilde{\mathbf{x}}_2) - \hat{\mathbf{x}}\|_1$$

$\because \alpha$ 가 작은 flat region은 BNN의 출력을,  $\alpha$ 가 큰 texture region은 LAN의 출력을 학습

- Inference 단계에서는 BNN과 LAN은 사용하지 않고, 학습된 denoising network만을 사용

- 추가적으로, BNN과 LAN을 단순히 blending하는 방법을 고려할 수 있으나 이는 제안 방법보다 저조한 성능을 가지는 것을 실험을 통해 확인

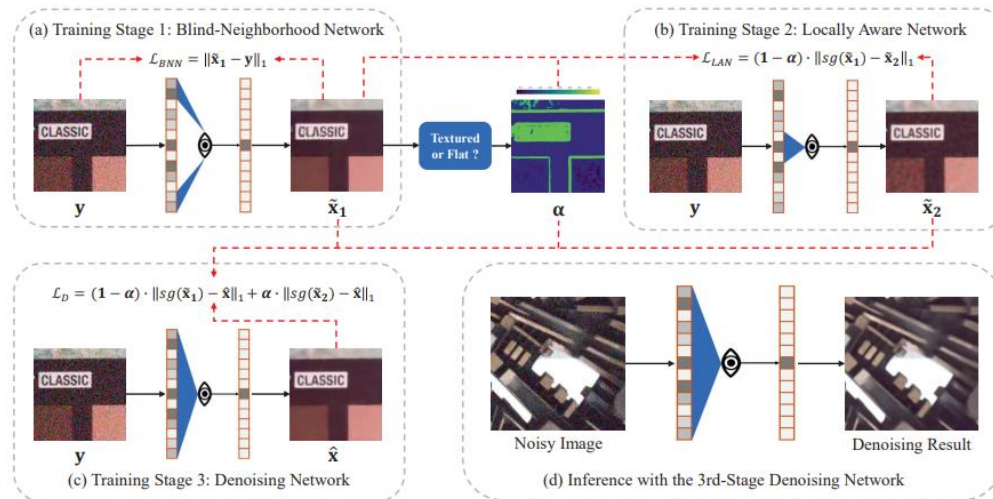


Table 3. Comparison between image-level fusion strategy and our method.

Blending 방법 (d)와 제안 방법 (e)의 성능 비교

Image	$\tilde{\mathbf{x}}_1$	$\tilde{\mathbf{x}}_2$	$(1 - \alpha) \cdot \tilde{\mathbf{x}}_1 + \alpha \cdot \tilde{\mathbf{x}}_2$	$\hat{\mathbf{x}}$
PSNR	36.37	35.00	36.84	37.39
Time (ms)	16.7	5.9	22.9	4.8

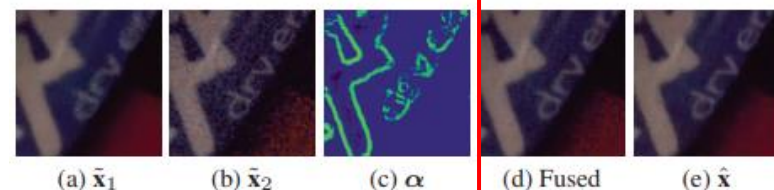


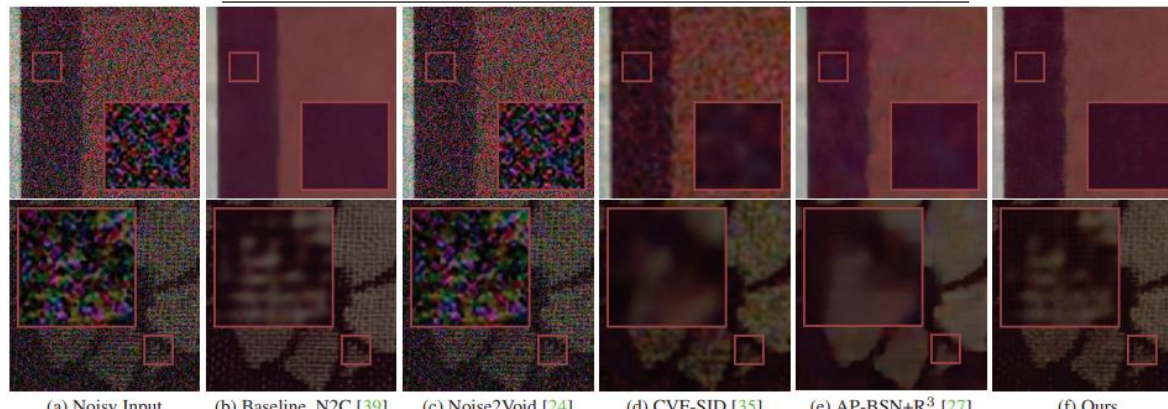
Figure 5. Visual comparison with image-level fusion strategy. (d) denotes the spatially adaptive fusion result  $(1 - \alpha) \cdot \tilde{\mathbf{x}}_1 + \alpha \cdot \tilde{\mathbf{x}}_2$ .

# Paper Review

- Spatially Adaptive Self-Supervised Learning for Real-World Image Denoising
  - Experiments

- SIDD의 train dataset에서 학습된 여러 모델을 SIDD의 validation/benchmark dataset과 DND benchmark dataset에서 성능을 비교하는 실험 진행

	Method	SIDD Validation	SIDD Benchmark	DND Benchmark
		PSNR↑ / SSIM↑ / LPIPS↓	PSNR↑ / SSIM↑	PSNR↑ / SSIM↑
Non-learning based	BM3D [11] WNNM [14]	25.71 / 0.576 / 0.657 26.05 / 0.592 / 0.635	25.65 / 0.685 25.78 / 0.809	34.51 / 0.851 34.67 / 0.865
Supervised (Synthetic pairs)	DnCNN [50] CBDNet [15] Zhou <i>et al.</i> [57]	26.21 / 0.604 / 0.712 33.07 / 0.863 / 0.288 33.96 / 0.899 / 0.258	26.25 / 0.599 33.28 / 0.868 34.00 / 0.898	32.43 / 0.790 38.05 / 0.942 38.40 / 0.945
Supervised (Real pairs)	DnCNN [50] Baseline, N2C [39] VDN [46] Restormer [48]	37.73 / 0.943 / 0.245 38.98 / 0.954 / 0.201 39.29 / 0.956 / 0.208 39.93 / 0.960 / 0.198	37.61 / 0.941 38.92 / 0.953 39.26 / 0.955 40.02 / 0.960	38.73 / 0.945 39.37 / 0.954 39.38 / 0.952 40.03 / 0.956
Unpaired	GCB [8] UIDNet [16] C2N [18] Wu <i>et al.</i> [44]	- - 35.36 / <u>0.932</u> / <u>0.192</u> -	- 32.48 / 0.897 35.35 / <b>0.937</b> -	35.58 / 0.922 - 37.28 / 0.924 37.93 / <u>0.937</u>
Self-Supervised	Noise2Void [24] Noise2Self [3] NAC [45] R2R [36] CVF-SID [35] AP-BSN+R <sup>3</sup> [27] Ours	27.48 / 0.664 / 0.592 29.94 / 0.782 / 0.556 - - 34.15 / 0.911 / 0.423 <b>36.74</b> / <b>0.934</b> / 0.281 <b>37.39</b> / <b>0.934</b> / <b>0.176</b>	27.68 / 0.668 29.56 / 0.808 - 34.78 / 0.898 34.71 / 0.917 <b>36.91</b> / 0.931 <b>37.41</b> / 0.934	- - 36.20 / 0.925 - 36.50 / 0.924 <b>38.09</b> / <b>0.937</b> <b>38.18</b> / <b>0.938</b>



(a) Noisy Input

(b) Baseline, N2C [39]

(c) Noise2Void [24]

(d) CVF-SID [35]

(e) AP-BSN+R<sup>3</sup> [27]

(f) Ours

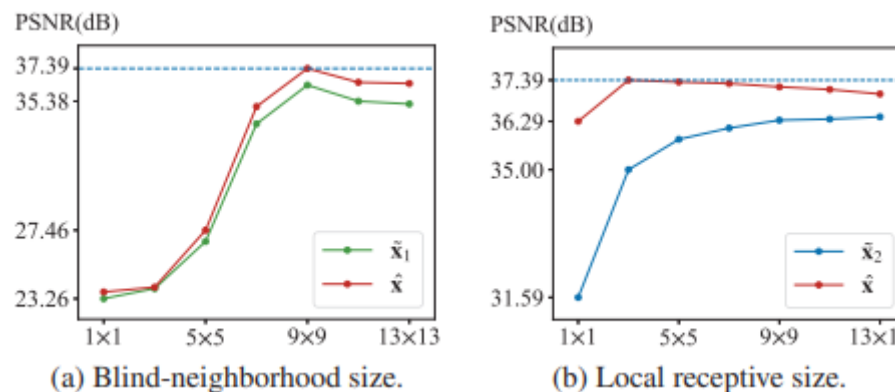
# Paper Review

- Spatially Adaptive Self-Supervised Learning for Real-World Image Denoising
  - Experiments

- Supervision component의 효과를 확인하기 위해 최종 denoising network를 학습 시키는 loss function에서 각 요소를 제거하며 denoising 성능을 비교

$\mathcal{L}_D = (1 - \alpha) \cdot \ sg(\tilde{x}_1) - \hat{x}\ _1 + \alpha \cdot \ sg(\tilde{x}_2) - \hat{x}\ _1$				
Supervision of $\tilde{x}_1$	✓		✓	✓
Supervision of $\tilde{x}_2$		✓	✓	✓
Adaptive Coefficients $\alpha$				✓
PSNR of $\hat{x}$	36.84	35.95	37.30	37.39

- BNN의 blind neighborhood size와 LAN의 receptive field size에 대한 ablation study 수행



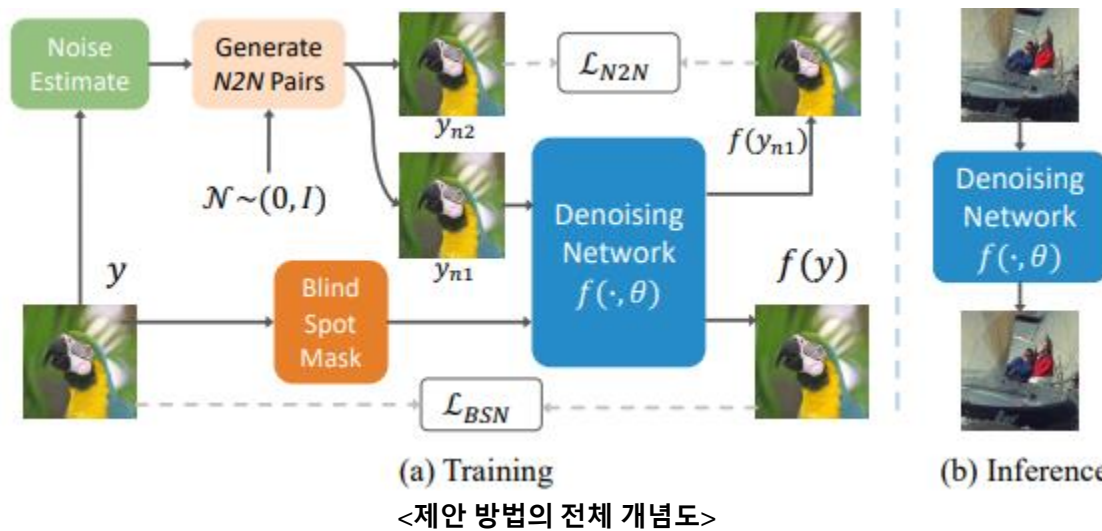
# **Iterative Denoiser and Noise Estimator for Self-Supervised Image Denoising**

# Paper Review

- Iterative Denoiser and Noise Estimator for Self-Supervised Image Denoising
  - Observations and Motivations

- N2N은 충분한 training sample이 제공된다면 clean target을 사용한 경우와 동일한 성능을 얻을 수 있으며 self-supervised 방법보다 더 높은 성능을 달성할 수 있음
- 기존에 N2N 학습을 위한 data generation 방법은 clean image를 필요로 한다는 한계를 가짐
- 본 논문은 noise estimator와 denoiser를 iterative하게 학습하는 방법을 통해 온전한 self-supervised 방식으로 N2N의 성능을 높이는 방법을 제안

Noise estimator는 noisy image의 noise level을 추정하여 N2N 학습을 위한 데이터를 생성하고, denoiser는 생성된 데이터를 사용하여 N2N 방식으로 학습



# Paper Review

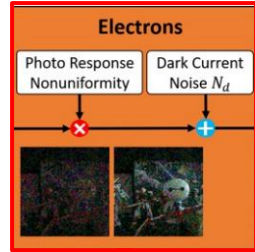
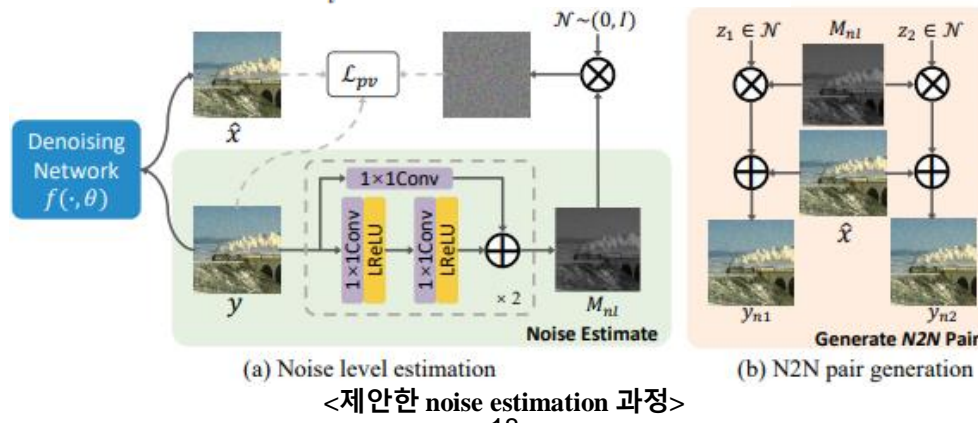
- Iterative Denoiser and Noise Estimator for Self-Supervised Image Denoising
  - Method

- Previous works에 따르면 광학 센서에 발생하는 real noise는 heteroscedastic Gaussian model을 따르며, real noise  $n$ 은 clean image  $x$ 에 대해 다음과 같이 모델링 될 수 있음

$$n = \mathcal{N} \sim (0, \sigma_d^2 x + \sigma_i^2) \rightarrow \text{Noise level은 image content의 영향을 받음을 의미}$$

- 즉, signal-dependent noise  $\sigma_d$ 는 image의 밝은 영역에서는 noise variance가 높아지는 것을 의미하고 signal-independent noise  $\sigma_i$ 는 image에 상관없이 모든 픽셀에 추가되는 기본 noise level을 의미
- 먼저 noisy image  $y$ 를 denoiser network  $f$ 에 통과시켜 pre-denoised image  $\hat{x}$ 를 얻음
- 이후 pre-denoised image와 noisy image를 estimator에 통과시켜 pixel-wise noise level map  $M_{nl}$  추정
- 계산된  $M_{nl}$ 을 사용하여 N2N pair를 생성하는데, 여기서 reparameterization trick 사용
- Noise estimator를 constrain하기 위해 patch variance loss를 적용

$$\mathcal{L}_{pv} = \sum_i \|Var(\mathcal{P}(y_{ni}, p)) - Var(\mathcal{P}(y, p))\| \rightarrow p \times p \text{ size patch에서 real noisy image } y \text{와 생성된 noisy image의 variance가 같아지도록 유도}$$



# Paper Review

- Iterative Denoiser and Noise Estimator for Self-Supervised Image Denoising

- Method

- Noise estimator를 통해 생성된 N2N pair를 사용하여 denoiser를 학습

$$\mathcal{L}_{N2N} = \|f(y_{n1}) - y_{n2}\|_2^2$$

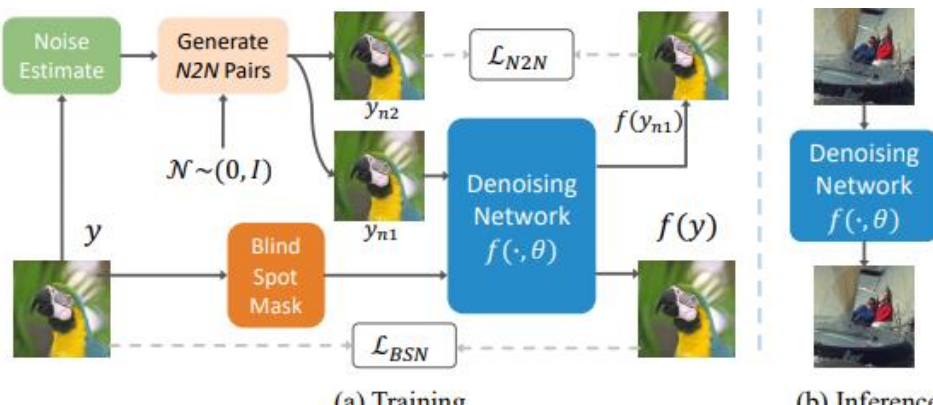
- 학습 초기에 denoiser와 noise estimator의 성능이 저조해서 의도한 동작을 수행하지 못하고 이에 따라 학습이 불안정해지는 현상 발생
- 이를 해결하기 위해 학습 초기에는 BSN을 사용하여 coarse denoised image를 얻고 이를 사용하여 denoiser를 학습하는 방법을 적용

$$\mathcal{L}_{BSN} = \|f(y_{RF}; \theta) - y\|_2^2$$

- 최종 loss function은 다음과 같음

$$\mathcal{L} = \mu \mathcal{L}_{PV} + \gamma \mathcal{L}_{N2N} + \lambda \mathcal{L}_{BSN}$$

→  $\mu, \gamma, \lambda$ 를 학습을 시작할 때는 1, 0, 1로 설정하고 epoch이 진행됨에 따라 0, 1, 0이 되도록 설정



# Paper Review

- Iterative Denoiser and Noise Estimator for Self-Supervised Image Denoising

- Experiments

- Synthetic sRGB noisy image에서 기존 방법들과 denoising 성능을 비교

- 제안 방법이 가장 N2N 또는 N2C (Noise2Clean, supervised 방식을 의미)에 근접한 성능을 달성

Noise Type	Method	KODAK	BSD300	SET14					
Gaussian $\sigma = 25$	N2C	32.46/0.884	31.20/0.881	31.43/0.868	Poisson $\lambda = 30$	N2C	31.84/0.877	30.54/0.872	30.63/0.859
	N2N [21]	32.48/0.885	31.22/0.882	31.45/0.869		N2N [21]	31.84/0.877	30.54/0.872	30.63/0.858
	BM3D [7]	29.97/0.808	28.48/0.788	29.63/0.818		BM3D [7]	27.89/0.738	26.58/0.717	27.11/0.744
	N2V [18]	31.81/0.875	30.52/0.870	30.53/0.853		N2V [18]	31.18/0.864	29.88/0.858	29.79/0.841
	SSDNN [19]	30.62/0.840	28.62/0.803	29.93/0.830		SSDNN [19]	30.19/0.833	28.25/0.794	29.35/0.820
	R2R [30]	32.25/0.880	30.91/0.872	31.32/ <b>0.865</b>		R2R [30]	30.50/0.801	29.47/0.811	29.53/0.801
	NAC [42]	25.69/0.521	25.51/0.583	25.67/0.586		NAC [42]	24.36/0.486	24.33/0.559	23.93/0.541
	Ni2N [29]	30.45/0.811	29.34/0.803	29.75/0.815		Ni2N [29]	29.43/0.775	28.29/0.764	28.63/0.778
	NBR2NBR [16]	32.08/0.879	30.79/0.873	31.09/0.864		NBR2NBR [16]	31.44/0.870	30.10/0.863	30.29/0.853
	B2U [38]	<b>32.27</b> /0.880	30.87/0.872	31.27/0.864		B2U [38]	<b>31.64</b> / <b>0.871</b>	<b>30.25</b> /0.862	<b>30.46</b> /0.850
Gaussian $\sigma \in [5, 50]$	Ours	<b>32.27</b> / <b>0.881</b>	<b>31.01</b> / <b>0.876</b>	<b>31.29</b> /0.862		Ours	31.60/0.870	30.22/ <b>0.865</b>	30.41/ <b>0.855</b>
	N2C	32.58/0.876	31.27/0.870	31.50/0.864	Poisson $\lambda \in [5, 50]$	N2C	31.25/0.862	30.17/0.859	30.28/0.848
	N2N [21]	32.57/0.876	31.26/0.870	31.46/0.863		N2N [21]	31.17/0.861	30.10/0.859	30.19/0.847
	BM3D [7]	29.38/0.781	28.83/0.795	30.74/0.834		BM3D [7]	27.08/0.702	25.85/0.688	26.44/0.724
	N2V [18]	31.72/0.863	30.39/0.855	30.24/0.843		N2V [18]	30.55/0.844	29.46/0.844	29.44/0.831
	SSDNN [19]	30.52/0.833	28.43/0.794	29.71/0.822		SSDNN [19]	29.76/0.820	27.89/0.778	28.94/0.808
	R2R [30]	31.50/0.850	30.56/0.855	30.84/0.850		R2R [30]	29.14/0.732	28.68/0.771	28.77/0.765
	NAC [42]	25.40/0.516	24.98/0.560	25.44/0.575		NAC [42]	23.12/0.447	23.47/0.534	23.14/0.516
	Ni2N [29]	32.17/0.868	30.93/0.862	30.87/0.852		Ni2N [29]	30.31/0.812	29.45/0.821	29.40/0.812
	NBR2NBR [16]	32.10/0.870	30.73/0.861	31.05/ <b>0.858</b>		NBR2NBR [16]	30.86/0.855	29.54/0.843	29.79/0.838
Ours	B2U [38]	<b>32.34</b> / <b>0.872</b>	30.86/0.861	<b>31.14</b> /0.857		B2U [38]	<b>31.07</b> / <b>0.857</b>	29.92/0.852	<b>30.10</b> / <b>0.844</b>
	Ours	<b>32.35</b> / <b>0.872</b>	<b>31.09</b> / <b>0.866</b>	31.09/0.855		Ours	31.00/ <b>0.857</b>	<b>29.99</b> / <b>0.855</b>	29.99/0.843

# Paper Review

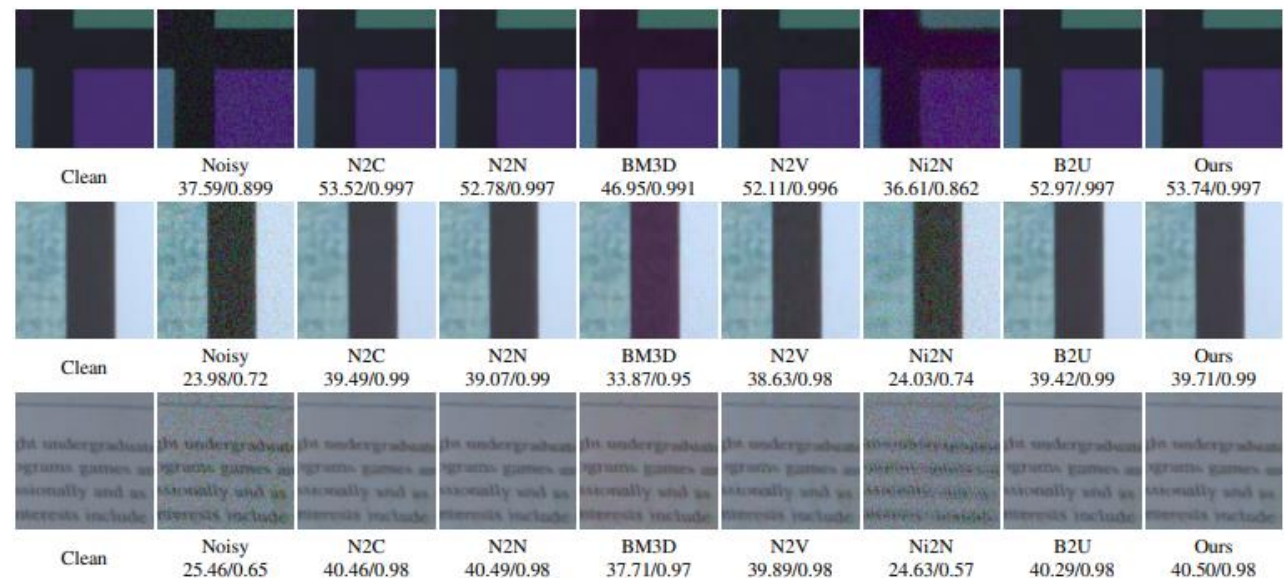
- Iterative Denoiser and Noise Estimator for Self-Supervised Image Denoising
  - Experiments

- Real raw noisy image에서 기존 방법들과 denoising 성능 비교

제안 방법이 가장 높은 성능을 달성

일반적인 supervised 방식의 train cost를 “ $\times 1$ ”라고 할 때, B2U는  $\times 17$ 의 cost를 가지고, 제안 방법은  $\times 3$ 의 cost를 가지므로 더 효율적이라고 볼 수 있음

Methods	Network	Train Cost	PSNR	SSIM
N2C	U-Net	$\times 1$	51.27	0.983
N2N [21]	U-Net	$\times 1$	51.29	0.991
BM3D [7]	-	-	48.13	0.983
N2V [18]	U-Net	$\times 1$	50.46	0.990
SSDN [19] (Gaussian)	U-Net	$\times 4$	50.44	0.990
SSDN [19] (Poisson)	U-Net	$\times 4$	50.89	0.990
R2R [30]	U-Net	$\times 1$	47.20	0.980
NAC [42]	U-Net	$\times 1$	43.24	0.961
Ni2N [29]	U-Net	$\times 1$	33.74	0.752
NBR2NBR [16]	U-Net	$\times 2$	51.06	0.991
B2U [38]	U-Net	$\times 17$	51.36	<b>0.992</b>
Ours	U-Net	$\times 3$	<b>51.40</b>	<b>0.992</b>



# Paper Review

- Iterative Denoiser and Noise Estimator for Self-Supervised Image Denoising
  - Experiments

- Patch variance loss의 유효성을 검증하는 ablation study 진행

$$\mathcal{L} = \mu \mathcal{L}_{pv} + \gamma \mathcal{L}_{N2N} + \lambda \mathcal{L}_{BSN}$$

	$\mu = 0$	$\mu = 1$	$\mu = 1 \rightarrow 0$
PSNR	24.21	31.86	<b>32.27</b>
SSIM	0.675	0.872	<b>0.881</b>

$$\mathcal{L}_{pv} = \sum_i \|Var(\mathcal{P}(\mathbf{y}_{ni}, p)) - Var(\mathcal{P}(\mathbf{y}, p))\|$$

patch size	4	8	32	64	Global
PSNR	32.21	<b>32.27</b>	32.23	32.24	32.18
SSIM	0.877	<b>0.881</b>	0.880	0.879	0.875

- N2N loss와 BSN loss의 유성을 검증하는 ablation study 진행

	$\gamma = 0$	$\gamma = 1$	$\gamma = 0 \rightarrow 1$
PSNR	31.81	32.14	<b>32.27</b>
SSIM	0.875	0.873	<b>0.881</b>

	$\lambda = 0$	$\lambda = 1$	$\lambda = 1 \rightarrow 0$
PSNR	14.46	31.75	<b>32.27</b>
SSIM	0.5312	0.875	<b>0.881</b>

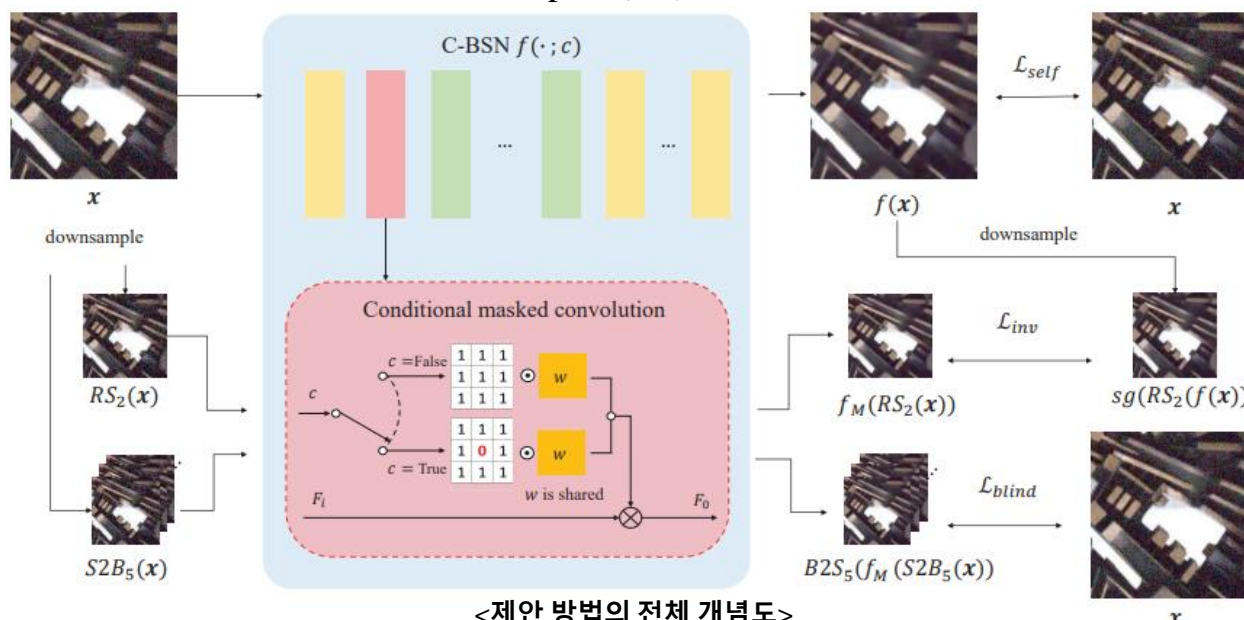
# **Self-supervised Image Denoising with Downsampled Invariance Loss and Conditional Blind-Spot Network**

# Paper Review

- Self-Supervised Image Denoising with Downsampled Invariance Loss and Conditional Blind-Spot Network

- Abstract

- BSN은 center pixel 정보를 사용할 수 없다는 한계를 가짐
    - 본 논문은 supervised loss의 이론적 upper bound를 유도하고, 그 값을 single noisy image만을 사용하여 계산할 수 있도록 변형한 downsampled invariance loss를 제안
    - Downsampled invariance loss를 구현하기 위해 center kernel의 blind / non-blind를 선택적으로 설정할 수 있는 conditional blind spot network (CBSN)을 제안
    - 또한, 기존에 noise correlation을 완화하기 위해 사용되던 pixel down-shuffle의 문제점인 check board artifact를 완화할 수 있는 random subsampler (RS) 방법을 제안



# Paper Review

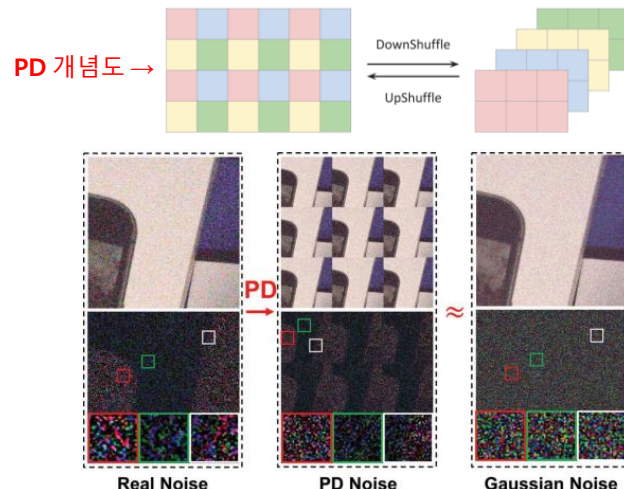
- Self-Supervised Image Denoising with Downsampled Invariance Loss and Conditional Blind-Spot Network

- Method

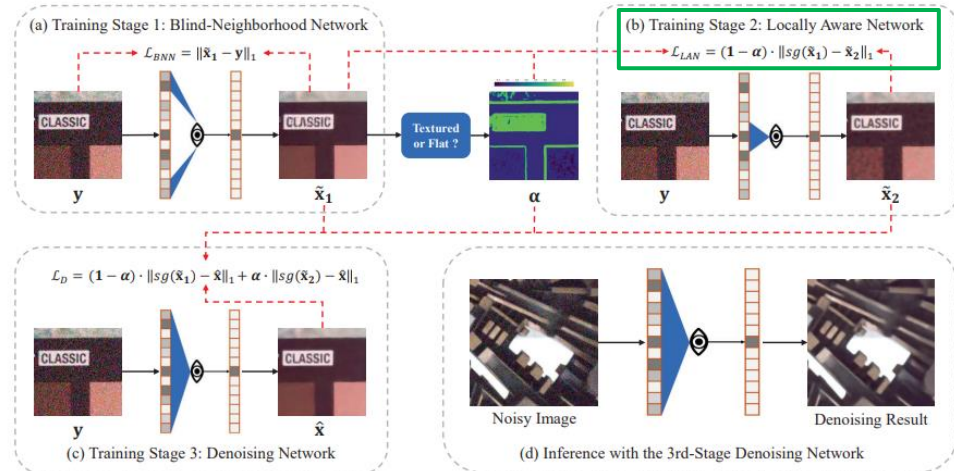
$$\mathcal{L}_{inv} = \sqrt{\frac{s^2}{m}} \left\| d_s(f(\mathbf{x})) - sg(f_M(d_s(\mathbf{x}))) \right\|_2$$

Learnable term      Objective term

- $d_s$ : s-fold down sampler → Noise correlation을 약화
- $f$ : non-blind denoiser → Image는 잘 복원하지만 supervised 학습 필요 (첫 번째 논문의 LAN과 유사)
- $f_M$ : blind denoiser → pixel-wise independent한 noise를 잘 복원함
- Objective term은 denoising이 잘 된 image, 반면 learnable term은 center pixel도 활용할 수 있지만 supervised 학습 필요 → objective term을 clean image처럼 활용하여 non-blind network 학습
- 첫 번째 논문에서 LAN이 BNN의 출력을 보고 학습했던 것과 유사한 방법이라고 생각됨



<Down shuffle과 real noise의 관계>



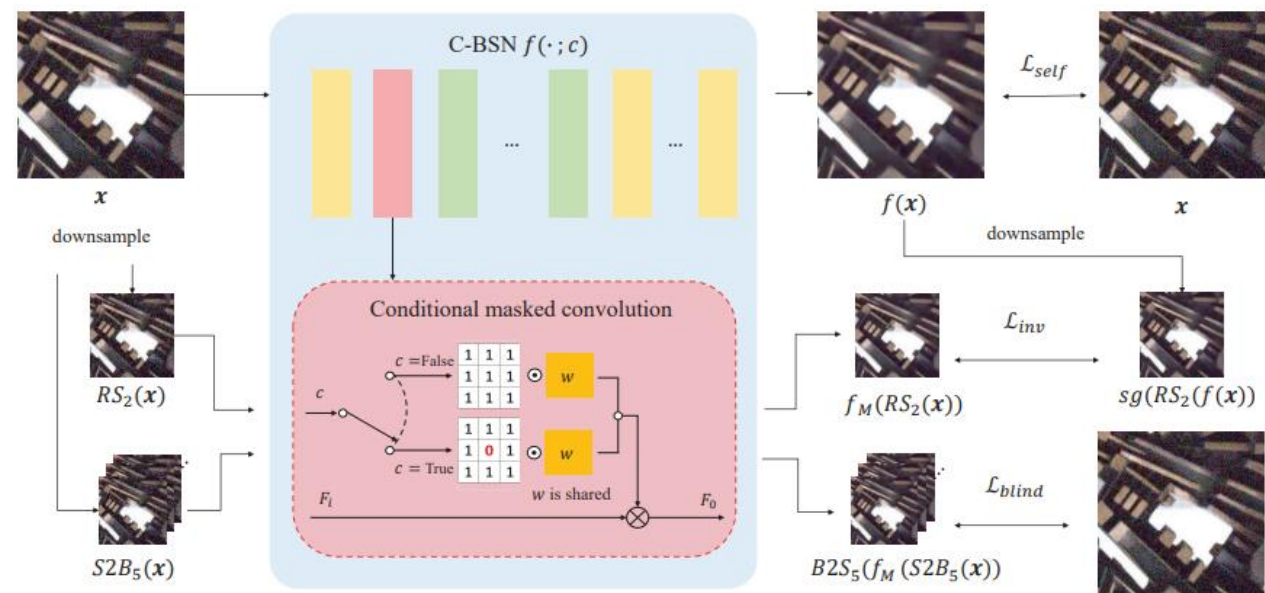
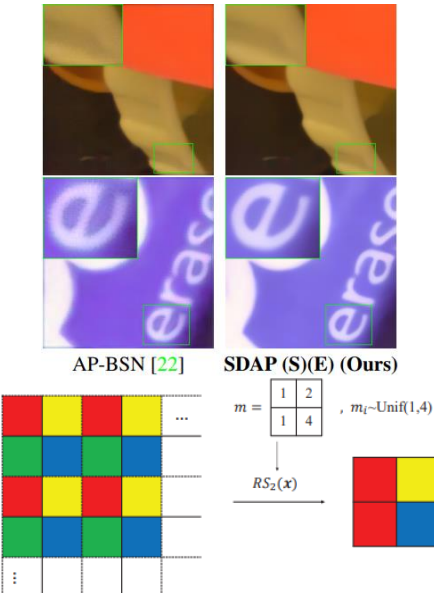
<첫 번째 논문의 전체 개념도>

# Paper Review

- Self-Supervised Image Denoising with Downsampled Invariance Loss and Conditional Blind-Spot Network

- Method

- Downsampled Invariance loss는 blind / non-blind network가 동일한 weight를 사용해야 함  
Weight는 같은데 masking만 선택적으로 되어야 함
- 이를 구현하기 위해 conditional blind spot network (CBSN)을 제안
- Network의 새로운 입력 condition  $c$ 를 받아 선택적으로 weight의 center를 masking할 수 있도록 설계
- 또한 down sampler로 흔하게 사용되는 space2batch (B2S)는 checkboard artifact를 만드므로, randomness를 부여하여 artifact를 완화하는 random subsampler를 제안



# Paper Review

- Self-Supervised Image Denoising with Downsampled Invariance Loss and Conditional Blind-Spot Network

- Method

- 추가적으로 학습 초기에 안정성을 높이기 위해 blind loss를 사용하여  $f_M$ 를 학습  
↳ 초기에  $f_M$ 을 학습하지 않으면, objective term이 noisy해서 학습이 불안정해짐

$$\mathcal{L}_{blind} = \|B2S_5(f_M(S2B_5(\mathbf{x}))) - \mathbf{x}\|$$

- 최종 loss function은 다음과 같음

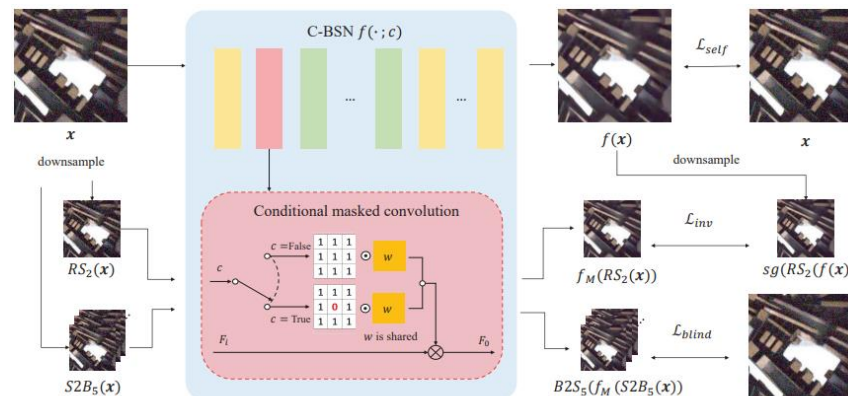
$$\mathcal{L}_{self} = \|f(\mathbf{x}) - \mathbf{x}\|$$

$$\mathcal{L}_{invRS} = \|RS_2(f(\mathbf{x})) - sg(f_M(RS_2(\mathbf{x})))\|$$

$$\mathcal{L}_{CBSN} = \mathcal{L}_{self} + \lambda_{inv} \cdot \mathcal{L}_{invRS}$$

$$\mathcal{L}_{total} = \mathcal{L}_{blind} + \lambda_{sch} \cdot \mathcal{L}_{CBSN}$$

- $\lambda_{sch}$ 는 0으로 시작하고 200,000 iteration 동안 점진적으로 1로 증가

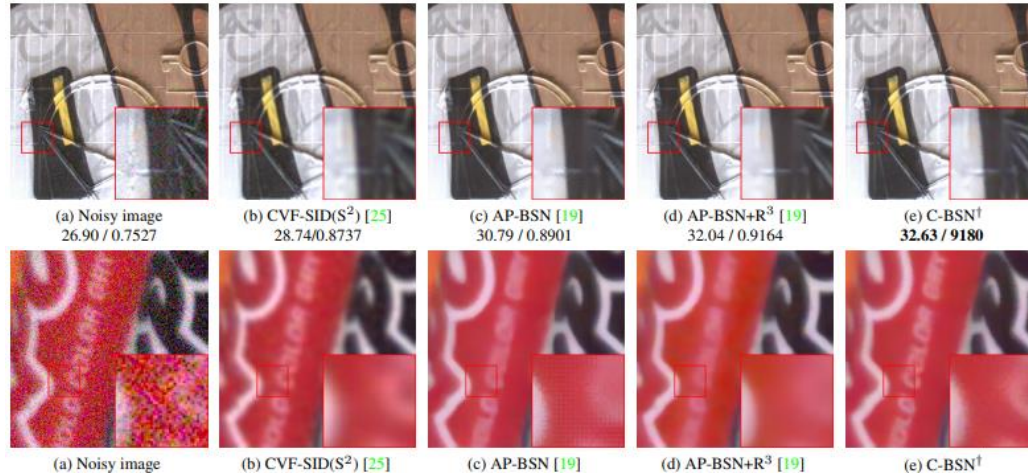


<제안 방법의 전체 개념도>

# Paper Review

- Self-Supervised Image Denoising with Downsampled Invariance Loss and Conditional Blind-Spot Network
  - Experiments

- 기존 방법을 supervised / generation-based / self-supervised 방식으로 분류하여 이들과 성능 비교



Supervision	Method	SIDD		DND	
		PSNR(dB)	SSIM	PSNR(dB)	SSIM
Model-based	BM3D [7]	25.65	0.685	34.51	0.851
	WNMM [9]	25.78	0.809	34.67	0.865
Supervised	DNCNN [43]	35.13	0.896	37.89	0.932
	CBDNet [10]	33.28	0.868	38.05	0.942
	RIDNet [3]	38.70	0.950	39.24	0.952
	AINDNet (R)* [14]	38.84	0.951	39.34	0.952
	VDN [39]	39.26	0.955	39.38	0.952
	MIRNet [41]	39.72	0.959	39.88	0.956
	MAXIM-3S [33]	39.96	0.960	39.84	0.957
Generation-based	GCBD [37]	-	-	35.58	0.922
	C2N* [12] + DIDN [38]	35.35	0.937	36.38	0.887
Self-supervised	NAC [37]	-	-	36.20	0.925
	R2R [26]	34.78	0.898	-	-
	CVF-SID(T) [25]	34.43	0.912	36.31	0.923
	CVF-SID(S^2)^† [25]	34.71	0.917	36.50	0.924
	AP-BSN [19]	34.90	0.900	37.46	0.924
	AP-BSN + R^3 [19]	35.97	0.925	38.09	0.937
	C-BSN	36.82	<b>0.934</b>	38.45	0.939
	C-BSN^†	<b>36.84</b>	0.933	<b>38.60</b>	<b>0.941</b>

# Paper Review

- Self-Supervised Image Denoising with Downsampled Invariance Loss and Conditional Blind-Spot Network
  - Experiments

- Loss function에 대한 ablation study 진행

$$\mathcal{L}_{invRS} = \|RS_2(f(\mathbf{x})) - sg(f_M(RS_2(\mathbf{x})))\|$$

Loss function	PSNR(dB)	SSIM
$\mathcal{L}_{N2Same}$	25.58	0.807
$\mathcal{L}_{total}$ with blind-spot	35.86	0.931
$\mathcal{L}_{inv}$ with RMS	35.63	0.920
$\mathcal{L}_{total}$	<b>36.22</b>	<b>0.935</b>

$\mathcal{L}_{N2Same}$ : condition c를 항상 False로 설정해서 non-blind network만 사용  
 $\mathcal{L}_{total}$  with blind-spot: condition c를 항상 True로 설정해서 blind network만 사용  
 $\mathcal{L}_{inv}$  with RMS :  $\mathcal{L}_{inv}$ 를 기준 연구 (noise2same)를 따라서 L2 loss를 사용

- Down sampler에 대한 ablation study 진행

downsampler	stride	PSNR(dB)	SSIM
PD	5	34.71	0.905
	2	35.32	0.914
S2B	5	35.62	0.924
	2	36.02	0.922
RS	5	35.24	0.922
	2	<b>36.22</b>	<b>0.935</b>

- Blind loss 사용에 대한 ablation study 진행

$$\mathcal{L}_{total} = \mathcal{L}_{blind} + \lambda_{sch} \cdot \mathcal{L}_{CBSN}$$

$\lambda_{sch}$	PSNR(dB)	SSIM
$\infty$	25.92	0.810
0	29.59	0.757
1	35.65	0.926
warm-up	<b>36.22</b>	<b>0.935</b>

# 감사합니다.